

INSTITUTO SUPERIOR TÉCNICO

MEAER

CONTROLO POR COMPUTADOR

---

## Relatório: Identificação do modelo

---

*Trabalho realizado por:*

Alice Lourenço  
Diogo Janeiro  
Mariana Tavares

*Número:*

86606  
86623  
86664

*Turno 2<sup>a</sup> feira*

2019/2020

## Conteúdo

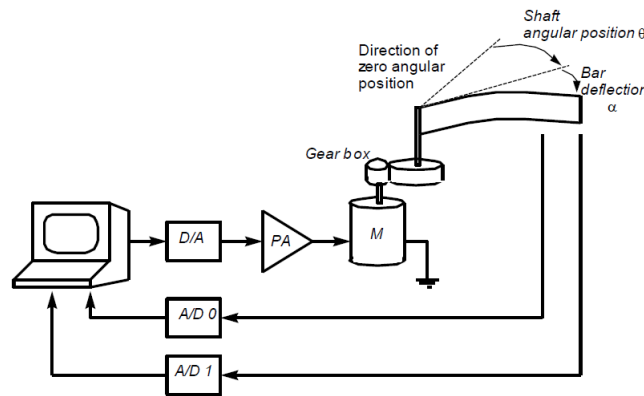
<b>1</b>	<b>Introdução</b>	<b>2</b>
<b>2</b>	<b>Instalação</b>	<b>2</b>
2.1	Q1 . . . . .	3
<b>3</b>	<b>Calibração dos sensores</b>	<b>3</b>
3.1	Medição de $\alpha$ . . . . .	4
3.2	Medição de $\theta$ . . . . .	6
<b>4</b>	<b>Obtenção do modelo</b>	<b>7</b>
4.1	Recolha dos dados Experimentais . . . . .	7
4.2	Processamento dos Dados . . . . .	8
4.3	Seleção do melhor modelo . . . . .	9
4.4	Conversão para um Modelo em Espaço de Estados . . . . .	12
<b>5</b>	<b>Conclusão</b>	<b>14</b>
<b>6</b>	<b>Anexos</b>	<b>16</b>
6.1	extensometro.m . . . . .	16
6.2	potenciometro.m . . . . .	17
6.3	ciclo_principal.m . . . . .	17
6.4	testSet.m . . . . .	18
6.5	model.m . . . . .	19
6.6	menor_fit.m . . . . .	20

## 1 Introdução

O trabalho laboratorial da cadeira de Controlo por Computador tem como objetivo a identificação de um modelo e o desenho de um controlador para a posição da ponta de uma barra flexível. O controlo é feito a partir de um computador que altera o comportamento da barra consoante o algoritmo implementado. Neste relatório é feita a análise da primeira parte do trabalho laboratorial, que corresponde à identificação do modelo.

Esta tarefa não é trivial (**Q1**), como explicaremos na subsecção 2.1. Começaremos então por calibrar os sensores, por forma a conseguir recolher os dados da posição da ponta da barra flexível  $\alpha$  e  $\theta$  (secção 3, **Q2**). No sentido de desenhar um controlador, é primeiro necessário identificar um modelo do sistema a controlar (secção 4, **Q3**).

No final deste trabalho, a informação dada pelos sensores será convertida de sinal analógico para digital e fornecida ao computador. Este, por cada período de amostragem, aplicará o algoritmo desenvolvido para calcular a tensão a aplicar ao motor. O resultado calculado pelo controlador passará então pelo conversor digital-analógico e esse sinal, por sua vez, é amplificado pelo amplificador de potência para comandar o motor.



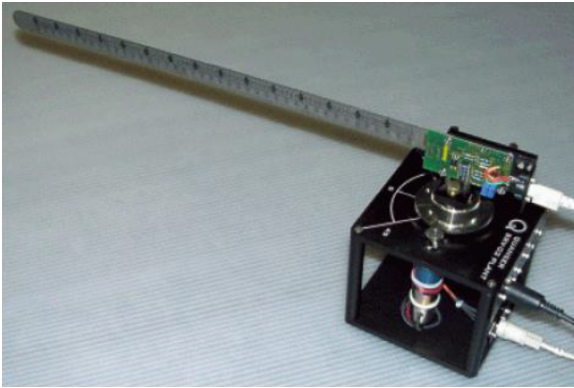
**Figura 1:** Desenho esquemático da ligação do hardware ao computador; o computador está ligado à instalação através de conversores AD e DA.

Ao longo deste trabalho, sempre que forem referidos ficheiros do *Matlab*, o respetivo *sketch* encontra-se nos anexos, secção 6.

## 2 Instalação

A instalação a controlar (figura 2) é constituída por uma barra flexível ligada ao veio de um motor DC, que está por sua vez ligado a um amplificador de tensão. Esta instalação possui ainda um extensómetro (figura 3) para medir o ângulo de deflexão da barra ( $\alpha$ ) e um potenciómetro, que se encontra fixo ao veio do motor, para medir o ângulo de rotação do veio ( $\theta$ ). A posição da ponta da barra ( $y$ ), que é o que se pretende controlar, é dada pela soma destes dois ângulos:

$$y = \alpha + \theta \quad (1)$$



**Figura 2:** *Instalação a controlar.*



**Figura 3:** *Localização do extensómetro.*

## 2.1 Q1

Existem várias razões que fazem com que este controlo não seja trivial. Em primeiro lugar, não é possível criar uma tabela de tensões que se apliquem ao motor de modo a obter um ângulo específico. Isto acontece porque ao aplicar uma voltagem constante ao motor isto traduz-se numa velocidade angular constante e não numa posição angular constante, uma vez que esta corresponde à integração da velocidade angular. Aplicar um sinal constante à entrada, o que se traduz numa velocidade constante, durante um período finito de tempo faria o  $y$  ir para a posição desejada. No entanto, esta opção de controlo não é viável porque a barra é flexível, pelo que a posição da ponta da barra não coincide com a posição do veio do motor. O facto da barra ser flexível é também a explicação para um simples controlo por *feedback* não funcionar.

Tem-se assim o segundo problema, o facto da barra ser flexível. Isto implica que existam fenómenos como o efeito chicotada e o efeito de arrastamento que precisam de ser considerados. O efeito chicotada, amplamente debatido ao longo do relatório, é o nome dado quando a rotação do veio do motor muda de sentido e a ponta da barra não reage instantaneamente, tendo tendência a continuar o movimento que tinha anteriormente.

Para estimar aquilo que se passará com o modelo é necessário ter em conta a dinâmica do motor e da barra. Simular a dinâmica do motor é relativamente fácil, uma vez que bastará adicionar um integrador, ou seja, terá que haver um pólo na origem. Adicionar a dinâmica da barra é mais difícil uma vez que, para além de não ser conhecida, engloba mais fatores.

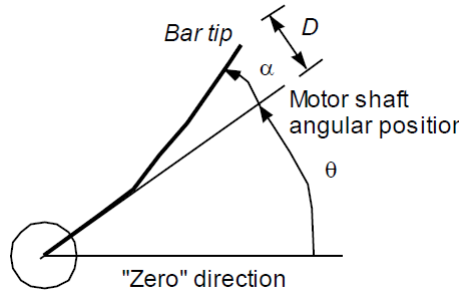
Para representar o comportamento oscilatório da ponta da barra, teremos de inserir pares de pólos conjugados. Por uma questão de simplificação, assume-se apenas um par. Terá ainda de ser considerado o efeito de chicotada, introduzindo um zero no semiplano complexo direito, já que é um elemento que provoca instabilidade no sistema.

$$H(s) = \frac{s - c_1}{s(s^2 + c_2s + c_3)} \quad (2)$$

## 3 Calibração dos sensores

Como já referido na secção anterior, a instalação possui dois sensores, um extensómetro e um potenciómetro. Nesta secção pretende-se descobrir as constantes que estabelecem a relação entre o valor de tensão

debitado por estes sensores e a grandeza que eles estão a medir. Assim, pretende-se relacionar a tensão medida pelo extensómetro com o ângulo da ponta da barra em relação à sua posição em repouso ( $\alpha$ ) e a tensão medida pelo potenciómetro com o ângulo do veio do motor ( $\theta$ ). A representação esquemática destes ângulos está representada na figura 4.



**Figura 4:** Esquema da deflexão da barra flexível.

De modo a conseguir obter estas constantes foi necessário criar um modelo em *simulink* para poder aplicar estímulos à barra e ler os valores dos sensores correspondentes.



**Figura 5:** Diagrama de blocos do Simulink utilizado para a calibração dos sensores.

Para a realização do ensaio do potenciómetro, foi utilizado o diagrama tal como se encontra representado na figura 5. Para a calibração do extensómetro foi utilizada unicamente a parte correspondente à leitura de dados (direita), uma vez que o input era realizado manualmente, tal explicado na secção 3.1. De salientar que para a realização deste ensaio o input foi posto a 0 (em vez do 1 que aparece no diagrama) para que o motor a rodar não afetasse a leitura do extensómetro (como se verificou que acontecia experimentalmente).

Ao longo de toda esta secção responde-se à pergunta **Q2** do guia laboratorial.

### 3.1 Medição de $\alpha$

O **extensómetro** é constituído por uma resistência elétrica cujo valor varia consoante o seu comprimento, pelo que se houver deformações na barra este valor vai variar. A tensão debitada pelo extensómetro é assim proporcional à sua deformação e portanto à deformação da barra, uma vez que este se encontra colado à sua superfície. Isto implica que a relação entre  $\alpha$  e a tensão dada pelo sensor seja dada pela equação 3, em que  $K_b$  é o valor da constante que se pretende descobrir e  $\alpha_e$  é o valor de tensão medido pelo extensómetro.

$$\alpha = K_b \alpha_e \quad (3)$$

Para obter o valor de  $K_b$  foi necessário defletir a barra com um conjunto de ângulos determinados.

Isto foi feito com a ajuda de um aparelho próprio para esse fim, que tem uma série de dentes separados por 0.64cm que formam uma espécie de pente (figura 6).



**Figura 6:** *Aparelho utilizado para calibrar o extensómetro.*

Uma vez que o que é conhecido é o valor da distância entre os dentes e não o ângulo, torna-se necessário descobrir qual é o ângulo associado a cada posição. Observando a figura 4, e chamando L ao comprimento da barra, torna-se fácil chegar à seguinte relação:

$$\operatorname{tg}(\alpha) = \frac{D}{L}$$

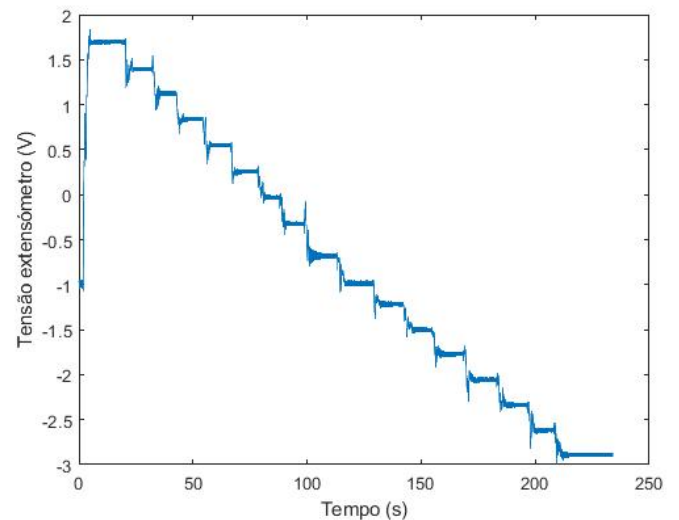
Utilizando esta relação obtém-se o valor em radianos do ângulo pretendido, mas como é preferível trabalhar com valores em graus é necessário fazer ainda a seguinte conversão:

$$\alpha_{[graus]} = \frac{180^\circ}{\pi} \alpha_{[rad]}$$

Em laboratório, foi medido o comprimento da barra ( $L = 37.5 \text{ cm}$ ) e foram medidos os valores de tensão para as várias posições da barra ao longo do "pente", tendo sido obtidos os seguintes resultados:

**Tabela 1:** *Resultados experimentais.*

Valor tensão (V)	D (cm)	$\alpha$ (graus)
1.71	-5.7150	-8.6652
1.38	-5.0800	-7.7147
1.14	-4.4450	-6.7599
0.84	-3.8100	-5.8013
0.56	-3.1750	-4.8395
0.28	-2.5400	-3.8749
-0.01	-1.9050	-2.9081
-0.33	-1.2700	-1.9397
-0.66	-0.6350	-0.9701
-0.97	0	0
-1.20	0.6350	0.9701
-1.51	1.2700	1.9397
-1.76	1.9050	2.9081
-2.05	2.5400	3.8749
-2.32	3.1750	4.8395
-2.62	3.8100	5.8013
-2.91	4.4450	6.7599

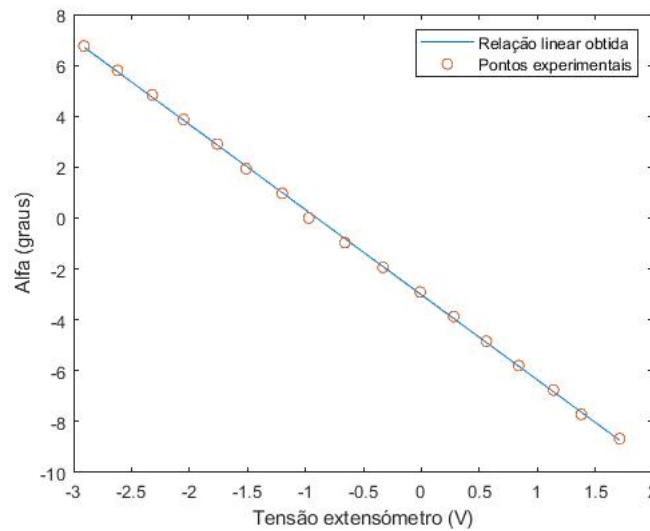


**Figura 7:** *Plot do valor de tensão debitado pelo extensómetro em função do tempo aquando da realização do ensaio para obtenção de  $K_b$ ; a barra flexível foi deformada de acordo com os valores da tabela 1.*

Estes resultados experimentais foram obtidos retirando, em cada patamar, o ponto para o maior valor de tempo, para o qual se admite que a leitura já estabilizou o suficiente para se poder fazer esta leitura sem afetar a exatidão do resultado.

Numa situação ideal a relação 3 corresponderia à realidade, no entanto, isto não é verdade pois a relação não é exatamente linear. Assim,  $K_b$  corresponde a um comportamento médio e é obtido aplicando o método dos mínimos quadrados aos dados obtidos segundo o procedimento descrito em cima.

Executando o ficheiro de código de Matlab "extensometro.m"(secção 6.1), obteve-se que  $K_b = -3.3434$  °/V. O ficheiro calcula o  $\alpha$  para todas as medições feitas e depois utiliza a função `polyfit()`, que devolve a melhor relação linear (grau 1, terceira entrada da função), usando o método dos mínimos quadrados. Na figura 8 pode observar-se a relação entre os dados experimentais e a relação linear obtida com a função `polyfit()`.



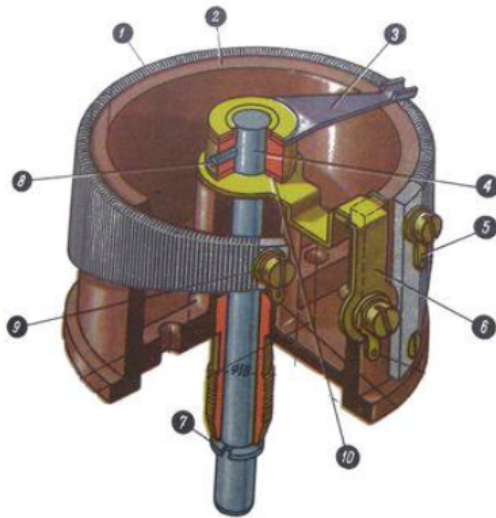
**Figura 8:** Comparação entre os dados experimentais obtidos para a calibração do extensómetro e a relação linear obtida para esses mesmos dados usando a função `polyfit()` do Matlab.

### 3.2 Medição de $\theta$

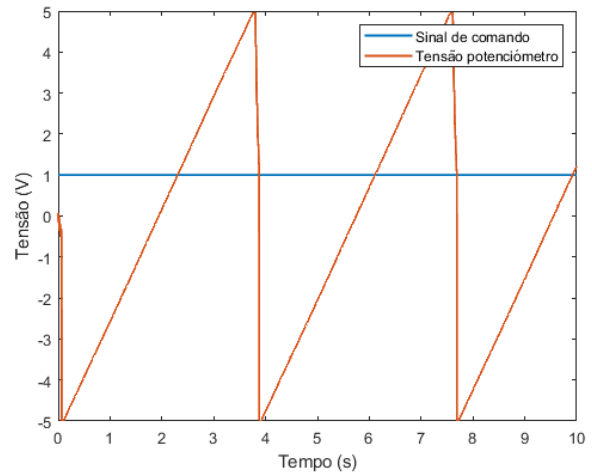
O **potenciómetro** é constituído por um cursor que roda sobre uma ferradura, como na figura 9, de forma a alterar a resistência aos seus terminais. Este cursor está solidário com o veio do motor, sendo a tensão debitada  $\theta_e$  proporcional ao ângulo  $\theta$  admitido (equação 4).

$$\theta = K_p \theta_e \quad (4)$$

Para determinar a constante  $K_p$ , aplica-se um escalão de 1V ao motor e analisa-se o declive do gráfico resultante, notando que é fácil identificar os intervalos de tempo correspondentes a  $360^\circ$  através das descontinuidades observadas (figura 10).



**Figura 9:** Ilustração do funcionamento interno de um potenciômetro.



**Figura 10:** Plot do sinal de entrada e de saída do potenciômetro aquando da realização do ensaio para obtenção da constante  $K_p$ .

Estas decontinuidades devem-se ao facto de não haver um obstáculo à passagem entre o fim e o início da ferradura, provocando uma queda abrupta da tensão debitada  $\theta_e$  aproximadamente de +5V para -5V.

Tem-se assim  $K_p = \frac{360}{4.956 - (-4.985)} = 36.2137^\circ/V$  (anexo da secção 6.2).

As descontinuidades mostraram-se um problema no tratamento dos dados adiante. Neste sentido, experimentou-se ainda outro método de medição do ângulo  $\theta$ : **fotodetetores**, que consiste na contagem da passagem por cada dente da engrenagem (1024 no total). Desta forma, já não é necessário ter o cuidado de garantir que não se passa a fronteira  $0^\circ/360^\circ$ . Para este método tem-se  $K_p = -(\frac{360}{1024})^\circ$ .

## 4 Obtenção do modelo

Passa-se agora à identificação do modelo a ser usado posteriormente para o desenho do controlador. Procede-se portanto à:

- Recolha dos dados
- Processamento dos dados
- Seleção do melhor modelo

### 4.1 Recolha dos dados Experimentais

Um dos cuidados a ter na recolha de dados é a escolha de sinais de entrada adequados. Optou-se pela utilização de sinais de onda quadrada e sinais PRBS (pseudorandom binary sequence).

É necessário ter em atenção o valor da **amplitude** do sinal injetado. Se o valor imposto à amplitude for demasiado baixo, a folga entre os dentes das engrenagens da caixa de desmultiplicação não permitirá o movimento do veio de acordo com o comando dado ao motor. Se o valor for muito alto, verificar-se-á um



comportamento não linear da barra, que não é pretendido pois não está a ser estudado como tal. Neste sentido aplicámos em todas as experiências 1V à amplitude do sinal de entrada do motor.

Quanto à **frequência**, se o sinal for demasiado rápido, de forma a que o sistema não se encontre na gama de frequências em que a sua dinâmica é dominante, este vai apenas filtrar o sinal de entrada, não apresentando o comportamento pretendido. Por outro lado, se o sinal for muito lento, não permitirá que os transientes sejam excitados. Neste sentido, optou-se por valores 0.5 Hz para a frequência da onda quadrada, e 0.10Hz e 0.11Hz para a largura de banda do sinal PRBS.

O primeiros 10 segundos de cada experiência foram excluídos, de forma a garantir que só se consideram dados após estar estabelecido o comportamento do sistema a estudar. Tenta-se ainda obter experiências com uma **duração** mínima de 60s.

Admitiu-se o valor de 0.02s para o **período de amostragem**. Se este valor tomasse valores demasiado grandes, não seriam recolhidos dados suficientes para retratar o comportamento do sistema. Se, pelo contrário, tomar valores demasiado pequenos, os dados excessivos não seriam representativos porque o sistema não teria tempo de responder ao estímulo dado, pelo que se estaria a tentar modelar o que, no fundo, seria apenas ruído.

**Tabela 2:** Conjuntos de dados experimentais utilizados.

Sinal	Frequência (Hz)	Largura de Banda (Hz)
prbs3	—	0.10
prbs4	—	0.10
prbs6	—	0.10
prbs8dentes	—	0.10
prbs9dentes	—	0.11
prbs11dentes	—	0.10
square3	0.5	—

Os nomes dos sinais na tabela 4.1 referem-se aos conjuntos de dados utilizados no código

## 4.2 Processamento dos Dados

Em laboratório, foram realizadas várias experiências com as características definidas acima sendo que os dados recolhidos correspondentes à resposta do sistema foram guardados em vários ficheiros do *Matlab*. São estes ficheiros que são analisados nesta secção.

Os dados recolhidos estão guardados na variável *tensao\_pot.signals.values* da seguinte forma:

- 1<sup>a</sup> coluna: output potenciómetro  $\theta_e$
- 2<sup>a</sup> coluna: output extensómetro  $\alpha_e$

Só a meio do processo de recolha de dados foi disponibilizada a ferramenta de contagem através dos fotodetektors, pelo que, desde então, passou-se a guardar também os dados recolhidos por este contador numa coluna adicional:

- 1<sup>a</sup> coluna: output contador  $\theta_e$
- 2<sup>a</sup> coluna: output potenciómetro  $\theta_e$
- 3<sup>a</sup> coluna: output extensómetro  $\alpha_e$

Para concretizar o processamento dos dados, seguimos as linhas de código sugeridas no enunciado.

Devido à relação velocidade - posição, verifica-se um efeito integrador no motor (**pólo na origem**), que deve ser retirado dos dados, diferenciando. Só posteriormente é que se pode identificar o modelo que relaciona a excitação elétrica imposta ao motor com o ângulo admitido pelo veio. Depois de identificar o modelo, terá de se voltar a adicionar ao mesmo um pólo em 1.

Ao diferenciar estes dados, amplia-se o ruído de altas frequências (já que derivar corresponde a multiplicar por  $s$ , pensando no caso de tempo contínuo). Por esta razão, deve-se aplicar um **filtro passa-baixo**. Deve-se, no entanto, ter em atenção que um valor muito elevado de  $\lambda$ , pode resultar na eliminação de efeitos que são necessários considerar para a obtenção do modelo, como por exemplo a chicotada.

Opta-se então por aplicar a função de transferência:

$$G(z) = (1 - z^{-1}) \left( \frac{1 - \lambda}{1 - \lambda z^{-1}} \right) \quad (5)$$

De notar que se impõe assim um pólo em  $\lambda$ .

Escolheu-se primeiramente o valor do parâmetro  $\lambda$  sugerido de 0.8. No entanto, este valor foi alterado para 0.75, como explicado na próxima subsecção (4.3).

Removeu-se ainda o valor do *offset* do sinal de entrada do motor  $u$ , através da função *detrend()*. É importante forçar a que *detrend()* subtraia uma constante (ordem 0), invocando a função da seguinte forma *detrend(utrend,0)*.

### 4.3 Seleção do melhor modelo

Para a criação do modelo e dos conjuntos de teste, foram utilizados seis conjuntos de dados diferentes de sinais PRBS e um de onda quadrada. De modo a escolher o modelo a utilizar, no código *ciclo\_principal* (secção 6.3), foi criado um modelo para cada conjunto de dados (função *model()* - secção 6.5) e testado com todos os conjuntos de dados (função *testSet()* - secção 6.4), para todas as combinações possíveis de  $[n_a, n_b]$ , sendo  $n_a > n_b$ .

Depois de recolhidos os valores de *fit* obtidos da comparação de todos os modelos com todos os conjuntos de teste (função *compare()*), foi escolhido o menor *fit* de cada modelo para cada combinação  $[n_a, n_b]$ , sendo este um dos fatores utilizados para escolher o modelo a utilizar.

Foi escolhido o menor fit e não o fit médio entre conjuntos de teste, pois este valor é mais representativo, visto que um modelo pode ter um fit relativamente baixo num conjunto de testes e mesmo assim ter um fit médio aceitável, o que não é o ideal sendo o objetivo criar um modelo capaz simular qualquer conjunto de dados.

**Tabela 3:** Melhor conjunto de fits, para cada valor de  $n_a$ , obtido para  $\lambda = 0.8$ .

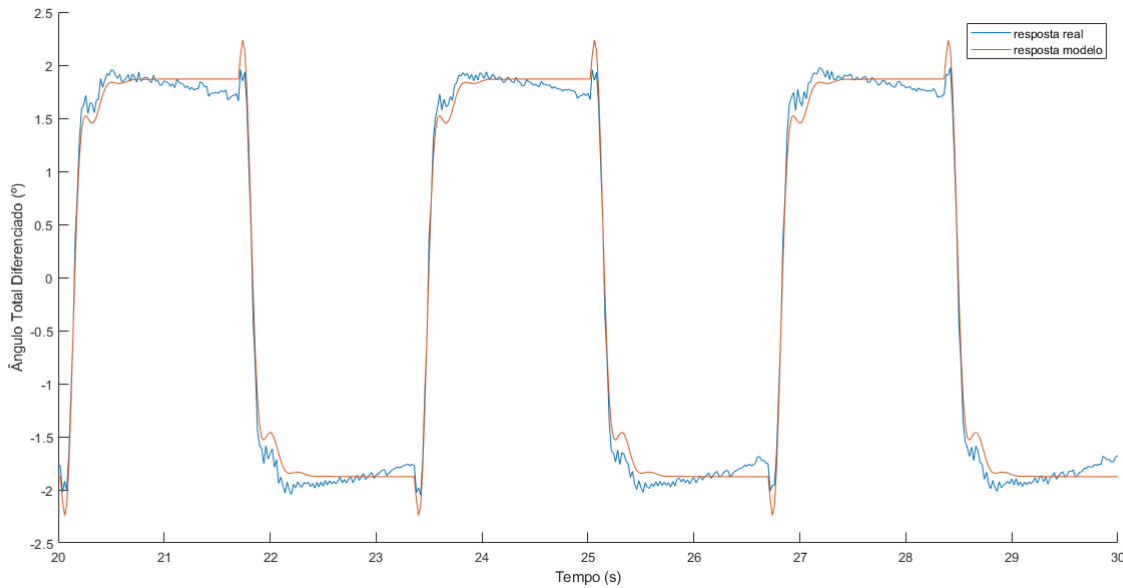
n_a	n_b	fit	sinal utilizado para o modelo
3	2	84.5345	square3
4	3	86.5982	prbs9dentes
5	4	85.5042	prbs9dentes
6	4	85.8121	prbs9dentes
7	2	85.9994	prbs9dentes
8	6	86.6496	prbs9dentes
9	8	86.6037	prbs9dentes

Apesar de um dos critérios ser o *fit*, este não pode ser o único considerado. Outro dos critérios é a ordem do sistema obtido.

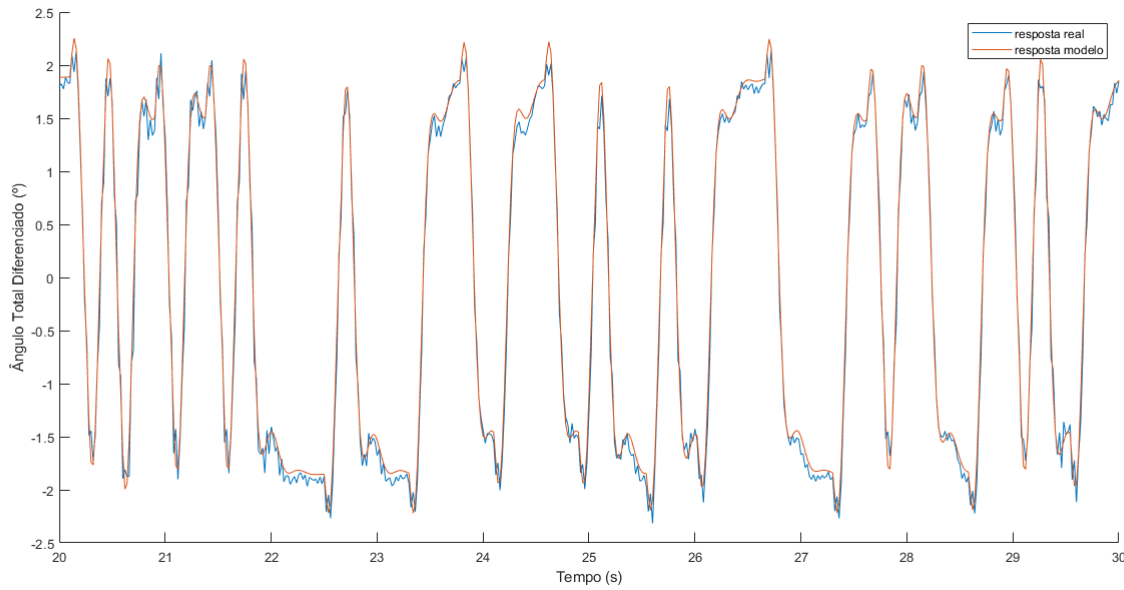
O sistema é composto por um motor, que tem um efeito integrador (pólo na origem), e uma barra flexível, que se sabe ter um comportamento oscilatório (par de complexos conjugados). Além disso, ao fazer a filtragem, adiciona-se um pólo em  $\lambda$ . No entanto, uma vez que o efeito integrador foi removido, este pólo não deve ser tido em consideração nesta fase. Assim, procura-se no mínimo um modelo de terceira ordem. Também se deve optar pela a menor ordem possível sem comprometer a exatidão do modelo, de modo a facilitar a implementação de um controlador.

Observando a tabela 3 verifica-se que o *fit* não varia significativamente aumentando a ordem do sistema. Optou-se assim pelo modelo de ordem inferior, ou seja,  $n_a = 3$ .

É ainda necessário perceber se este modelo simula efeitos como a chicotada. Procedeu-se assim à representação no mesmo gráfico da resposta real e da resposta dada pelo modelo para dois ensaios diferente. De salientar que nestas comparações foram utilizados sinais que não pertenciam nem ao conjunto de treino nem ao conjunto de teste.



**Figura 11:** Comparação entre a resposta real e a resposta dada pelo modelo escolhido para  $\lambda = 0.8$ , usando como conjunto de teste uma onda quadrada.



**Figura 12:** Comparação entre a resposta real e a resposta dada pelo modelo escolhido para  $\lambda = 0.8$  usando como conjunto de teste um sinal PRBS.

Analisando as figuras 11 e 12 percebe-se que o modelo segue de forma satisfatória o sinal PRBS mas não o sinal de onda quadrada uma vez que apesar de simular a chicotada (segundo pico em cada patamar) não se verifica o pico da oscilação no início do patamar, o que deveria ocorrer.

Decidiu-se então reduzir o parâmetro  $\lambda$  do filtro uma vez que se considerou que o problema estava numa filtragem demasiado grande atenuando o sinal e por isso o modelo não estava a simular a oscilação inicial.

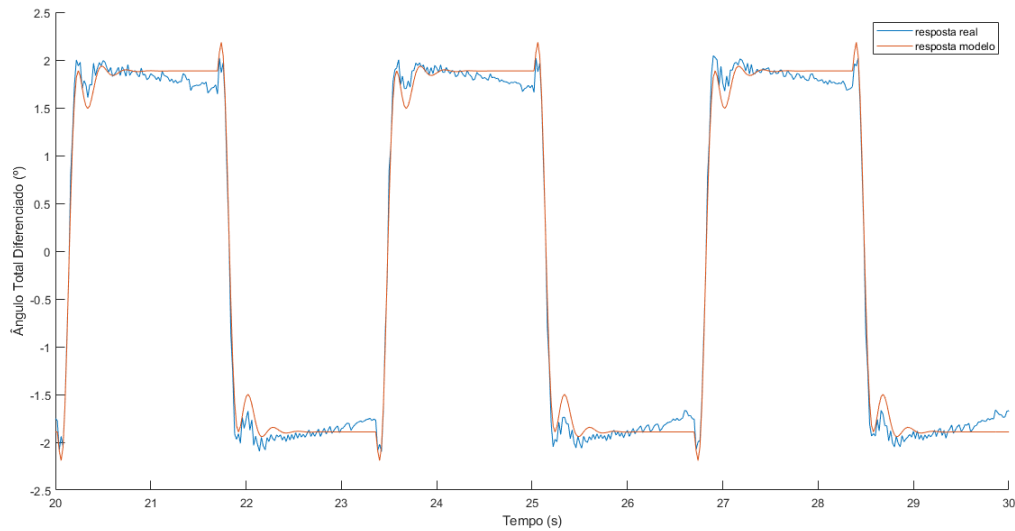
Aplicando  $\lambda = 0.75$  obtém-se os seguintes resultados:

**Tabela 4:** Melhor conjunto de fits, para cada valor de  $n_a$ , obtido para  $\lambda = 0.75$ .

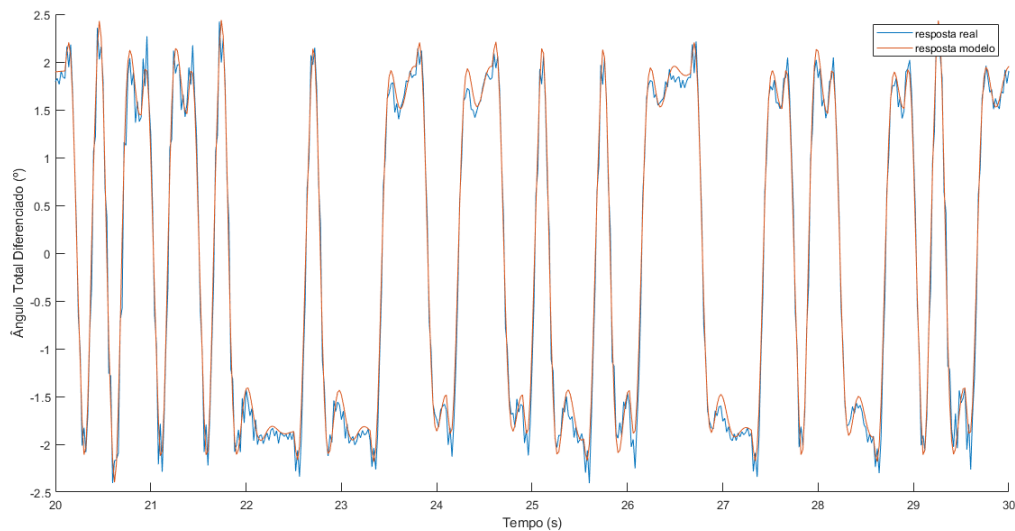
$n_a$	$n_b$	fit	sinal utilizado para o modelo
3	2	85.0901	square3
4	3	85.9209	prbs9dentes
5	4	85.1094	prbs9dentes
6	4	85.1057	prbs9dentes
7	6	85.8107	prbs9dentes
8	7	85.7579	prbs9dentes
9	8	85.7270	prbs9dentes

Aplicando o mesmo raciocínio aplicado ao set de resultados anterior, escolhemos mais uma vez o modelo com  $n_a = 3$ . Analisando as figuras 13 e 14, verifica-se que o modelo cumpre os requisitos necessários para à sua validação.

Em síntese, escolheu-se o sinal square3 como conjunto de treino, aplicou-se o filtro com o parâmetro  $\lambda = 0.75$ ,  $n_a=3$ ,  $n_b=2$  e período de amostragem de 0.02s.



**Figura 13:** Comparação entre a resposta real e a resposta dada pelo modelo escolhido para  $\lambda = 0.75$  usando como conjunto de teste a onda quadrada square3.



**Figura 14:** Comparação entre a resposta real e a resposta dada pelo modelo escolhido para  $\lambda = 0.75$  usando como conjunto de teste o conjunto prbs11dentes.

#### 4.4 Conversão para um Modelo em Espaço de Estados

Antes de converter o modelo criado para o espaço de estados, é necessário voltar a adicionar o pólo em  $z=1$  que foi retirado quando se diferenciaram os dados. Para isso foi utilizada a função `conv()` do *Matlab*.

O espaço de estados tem a seguinte representação (onde  $y$  é a saída a controlar e  $u$  é a entrada do sistema). As matrizes  $A$ ,  $B$ ,  $C$  e  $D$  foram as obtidas para o modelo escolhido na secção anterior.

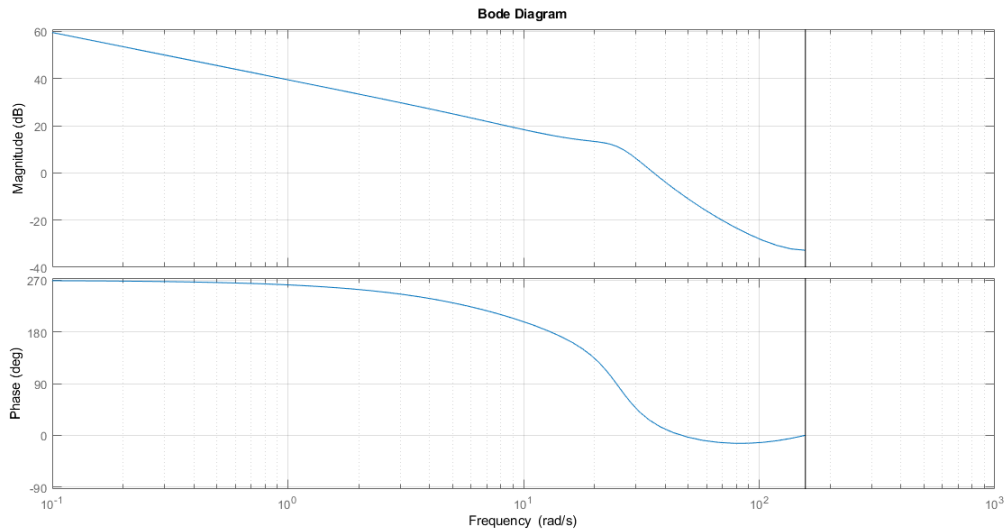
$$\begin{aligned}x(k+1) &= Ax(k) + Bu(k) \\y(k) &= Cx(k) + Du(k)\end{aligned}$$

$$A = \begin{bmatrix} 3.3090 & -4.2447 & 2.5238 & -0.5882 \\ 1.0 & 0.0 & 0.0 & 0.0 \\ 0.0 & 1.0 & 0.0 & 0.0 \\ 0.0 & 0.0 & 1.0 & 0.0 \end{bmatrix}, \quad B = \begin{bmatrix} 1.0 \\ 0.0 \\ 0.0 \\ 0.0 \end{bmatrix}, \quad C = \begin{bmatrix} -0.1104 \\ 0.1823 \\ 0.0 \\ 0.0 \end{bmatrix}, \quad D = 0 \quad (6)$$

Foi obtida a função de transferência associada ao modelo, após ser adicionado o efeito integrador.

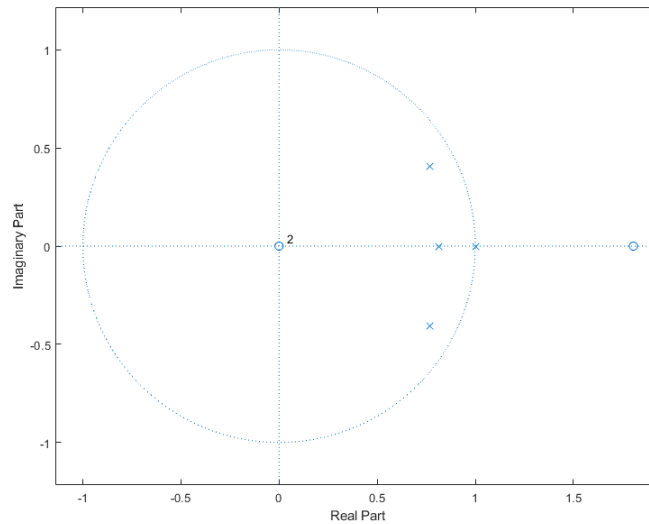
$$G(z) = \frac{-0.09726z^3 + 0.1756z^2}{z^4 - 3.346z^3 + 4.347z^2 - 2.614z + 0.613} \quad (7)$$

Através da função de transferência foi obtido o diagrama de bode associado.

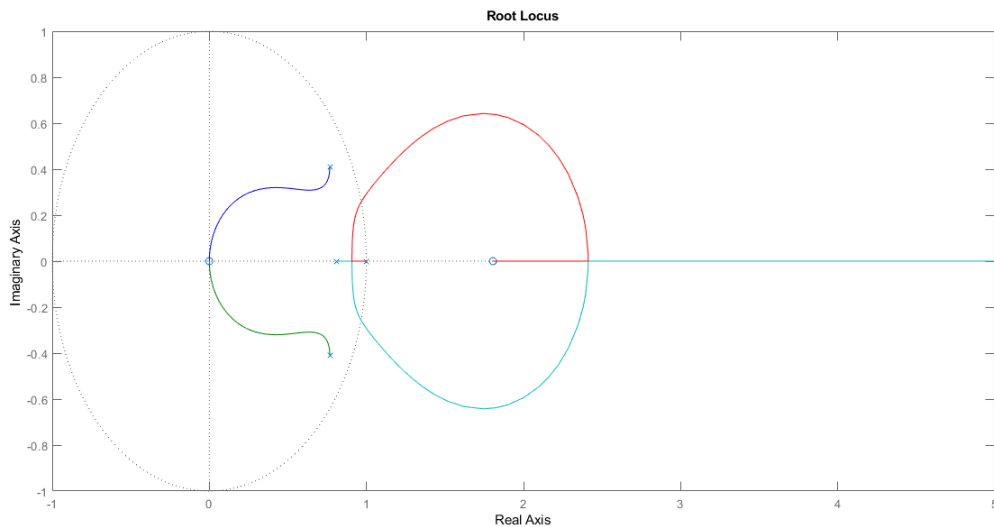


**Figura 15:** *Diagrama de Bode.*

Utilizando a função *zplane()* é possível determinar a posição dos zeros e pólos do função de transferência no plano Z - figura 16. Também é possível através da função *rlocus()* obter o Root Locus - figura 17.



**Figura 16:** *Plano Z.*



**Figura 17:** *Root Locus.*

## 5 Conclusão

Os objetivos definidos para esta parte do laboratório foram cumpridos. Efetuou-se a calibração dos sensores, obtendo-se as constantes  $K_b$  e  $K_p$ . Isto permitiu recolher dados e efetuar o seu tratamento tendo-se chegado a um modelo que mimica de forma satisfatória o sistema estudado: verificou-se uma boa simulação tanto do efeito de oscilação como de chicotada.

O modelo obtido é apenas de quarta ordem, o que será conveniente para o passo seguinte do projeto: o desenho do controlador. Durante a elaboração deste controlador, que vai ser desenvolvido na segunda parte

deste laboratório, reconhece-se que é possível que, apesar de já se ter escolhido um modelo, este possa sofrer alterações.

Uma das fontes de erro que mais afeta a obtenção de dados e consequentemente a obtenção do modelo, trata-se da presença e manipulação do fio que permite obter os dados do extensómetro, visto que é necessário evitar que este ofereça resistência à rotação do veio.



## 6 Anexos

### 6.1 extensometro.m

```
1 %valores calibracao extensometro
2 load('lab1_dadoextensometro.mat');
3
4 %Valores experimentais
5
6 for i=9:1:7
7     D(i+10,1) = 0.635*i; %0.635cm = 1/4 inch
8 end
9
10 L=37.5; %cm
11
12 alpha_E=[1.71
13          1.38
14          1.14
15          0.84
16          0.56
17          0.28
18          0.01
19          0.33
20          0.66
21          0.97
22          1.20
23          1.51
24          1.76
25          2.05
26          2.32
27          2.62
28          2.91];
29
30 %Calculos para obtencao de alfa
31 alpha =zeros(17,1);
32 for R = 1:1:17
33     alpha(R,1) = 180/pi*atan(D(R,1)/L);
34 end
35
36 %Metodo dos minimos quadrados para calculo do kb
37 p=polyfit(alpha_E,alpha,1);
38 kb=p(1,1)
39
40 %Plot dos dados experimentais
41 plot(tensao_pot.time, tensao_pot.signals.values(:,2));
42 xlabel('Tempo (s)')
43 ylabel('Tensao extensometro (V)')
44 savefig('extensometro_exp.fig')
45
46 %Plot comparacao do fit com os dados experimentais
47 y2=polyval(p,alpha_E);
48 plot(alpha_E,y2, 'DisplayName', 'Relacao linear obtida')
49 hold on
50 scatter(alpha_E,alpha,'DisplayName', 'Pontos experimentais');
51 xlabel('Tensao extensometro (V)')
52 ylabel('Alfa (graus)')
53 savefig('extensometro_comparacao.fig')
```

```
54
55 legend
56 hold off
```

## 6.2 potenciometro.m

```
1 %valores calibracao extensometro
2 load('lab1_dadospotenciometro.mat');
3
4 %Calculo do kp
5 v_max = 4.956;
6 v_min = 4.985;
7
8 kp=360/(v_max (v_min))
9
10 %Plot
11 %Plot do sinal de comando e dos valores do sensor
12 plot(tensao_pot.time, input.signals.values, 'DisplayName', 'Sinal de comando', ...
    'LineWidth', 1.5);
13 hold on
14 plot(tensao_pot.time, tensao_pot.signals.values(:,1), 'DisplayName', 'Tensao ...
    potenciometro', 'LineWidth', 1.5);
15 xlabel('Tempo (s)')
16 ylabel('Tensao (V)')
17 savefig('potenciometro_exp.fig')
18
19 legend
20 hold off
```

## 6.3 ciclo\_principal.m

```
1 %ciclo_principal cria um modelo para cada conjunto de dados (model) e
2 %
3 % testa o com todos os conjuntos de dados (testSet), para
4 % todas as combinacoes de na, nb; no final cria uma matriz
5 % com o menor fit de cada modelo para todos as combinacoes
6 % de na, nb.
7
8 data = [struct('ficheiro','resposta_prbs3','t_elim',29,'Δ_t',58,'dentes',0)
9         struct('ficheiro','resposta_prbs4','t_elim',50,'Δ_t',70,'dentes',0)
10        struct('ficheiro','resposta_prbs6','t_elim',10,'Δ_t',62,'dentes',0)
11        struct('ficheiro','resposta_prbs8dentes','t_elim',10,'Δ_t',110,'dentes',1)
12        struct('ficheiro','resposta_prbs9dentes','t_elim',30,'Δ_t',90,'dentes',1)
13        struct('ficheiro','resposta_prbs11dentes','t_elim',10,'Δ_t',110,'dentes',2)];
14
15 %data.dentes = 0 apenas potenciometro
16 %              1 ambos, utilizando potenciometro
17 %              2 ambos, utilizando numero de dentes
18
19 N=6;
20
21 fitMatrix = zeros(N,N);
22
23 for na = 1: 1: 9
24     for nb = 1: 1: na
```

```

22     nc = na;
23     nk = 1;
24     nn = [na nb nc nk];
25     for T = 1: 1: N
26         %Test set
27         z_test = testSet(data(T));
28         for M = 1: 1: N
29             %Modelo
30             fit = model(data(M), z_test, nn);
31             fitMatrix(M, T, na, nb) = fit;
32         end
33     end
34 end
35 end
36
37 menor = menor_fit(fitMatrix, N);

```

## 6.4 testSet.m

```

1 function [z_test] = testSet(data)
2 %testSet funcao recebe os dados a utilizar para criar o Test Set; devolve
3 % a matriz z_test para testar os modelos criados.
4
5 load(data.ficheiro);
6 Kp = 36.2137;
7 Ke = 3.3434;
8
9 af = 0.8;
10 Afilt = [1 af];
11 Bfilt = (1 af)*[1 1];
12 i = data.t_elim/0.02;
13 j = (data.t_elim + data.Δ_t)/0.02;
14 aux_matriz = 1;
15
16 thetae_test = zeros((j i+1),1);
17 alphae_test = zeros((j i+1),1);
18 utrend_test = zeros((j i+1),1);
19 t_aux2 = zeros((j i+1),1);
20
21 col_thetae=1;
22 col_alphae=2;
23 if data.dentes == 1
24     col_thetae=2;
25     col_alphae=3;
26 end
27 if data.dentes == 2
28     col_alphae=3;
29     Kp = 360/1024;
30 end
31
32 for S = i : 1: j
33     thetae_test(aux_matriz,1) = tensao_pot.signals.values(S,col_thetae);
34     alphae_test(aux_matriz,1) = tensao_pot.signals.values(S,col_alphae);
35     utrend_test(aux_matriz,1) = u(S,1);
36     t_aux2(aux_matriz,1) = t(aux_matriz);
37     aux_matriz = aux_matriz + 1;

```

```

38     end
39
40     ytrend_test = thetae_test*Kp + alphae_test*Ke;
41     yf_test = filter(Bfilt,Afilt,ytrend_test);
42     u_test = detrend(utrend_test,0);
43     z_test = [yf_test u_test];
44 end

```

## 6.5 model.m

```

1 function [fit] = model(data,z_test,nn)
2 %model funcao recebe os dados a utilizar para criar o modelo, a matriz
3 % z_test, resultante da funcao testSet, e o vetor nn; apos criar o
4 % modelo, este e testado com Test Set recebido e e devolvido o fit.
5
6 load(data.ficheiro);
7 Kp = 36.2137;
8 Ke = 3.3434;
9
10 af = 0.8;
11 Afilt = [1 af];
12 Bfilt = (1 af)*[1 1];
13
14 i = data.t_elim/0.02;
15 j = (data.t_elim + data.Δ_t)/0.02;
16 aux_matriz = 1;
17
18 thetae_test = zeros((j i+1),1);
19 alphae_test = zeros((j i+1),1);
20 utrend_test = zeros((j i+1),1);
21 t_aux2 = zeros((j i+1),1);
22
23 col_thetae=1;
24 col_alphae=2;
25 if data.dentes == 1
26     col_thetae=2;
27     col_alphae=3;
28 end
29 if data.dentes == 2
30     col_alphae=3;
31     Kp = 360/1024;
32 end
33
34 for S = i : 1: j
35     thetae(aux_matriz,1) = tensao_pot.signals.values(S,col_thetae);
36     alphae(aux_matriz,1) = tensao_pot.signals.values(S,col_alphae);
37     utrend(aux_matriz,1) = u(S,1);
38     t_aux2(aux_matriz,1) = t(aux_matriz);
39     aux_matriz = aux_matriz + 1;
40 end
41 ytrend = thetae*Kp + alphae*Ke;
42 yf = filter(Bfilt,Afilt,ytrend);
43 u_detrend = detrend(utrend,0);
44 z = [yf u_detrend];
45 th = armax(z,nn);
46 [den1,num1] = polydata(th);

```

```
47     [¬, fit] = compare(z_test,th);  
48 end
```

## 6.6 menor\_fit.m

```
1 function [menor] = menor_fit(fitMatrix,N)  
2 %menor_fit recebe a matriz 'fitMatrix' do 'ciclo_principal' e o numero de  
3 % conjuntos de dados utilizados, N; devolve a matriz 'menor', com  
4 % o menor fit de cada modelo para todas as combinacoes de na, nb.  
5  
6 menor = zeros(9,9,N);  
7 for na = 1: 1: 9  
8     for nb = 1: 1: na  
9         for M = 1: 1: N  
10             menor(na,nb,M) = min(fitMatrix(M, :,na,nb));  
11         end  
12     end  
13 end  
14 end
```